



سنجش از دور

GIS ایران



سنجش از دور و GIS ایران سال سیزدهم، شماره دوم، تابستان ۱۴۰۰
Vol.13, No. 2, Summer 2021 Iranian Remote Sensing & GIS

۱-۲۲

مقاله پژوهشی

ترکیب شاخص‌های SPI و EVI برای پهنه‌بندی مناطق حساس به خشکسالی (مطالعه موردی: استان کردستان)

*وحید احمدی^۱ و عباس علیمحمدی^۲

۱. کارشناس ارشد GIS و سنجش از دور، گروه مهندسی عمران، دانشگاه پیام نور، واحد تهران شمال

۲. استاد گروه GIS، دانشگاه خواجه نصیرالدین طوسی

تاریخ پذیرش مقاله: ۱۳۹۸/۱۱/۲۹

تاریخ دریافت مقاله: ۱۳۹۸/۰۱/۲۱

چکیده

از زیبایی خشکسالی، از نظر زمانی و مکانی، برای برنامه‌ریزی‌های کاهش خسارات در استان کردستان اهمیت بسیاری دارد. در این تحقیق، از شاخص بارش استاندارد شده و همچنین، شاخص پوشش گیاهی بازرسیده استخراجی از تصاویر ماهواره‌ای، بهمنزله پارامتر تعیین‌کننده خشکسالی، استفاده شده است. به‌این‌منظور، داده‌های آماری ایستگاه‌های هواشناسی شامل حداکثر دمای ماهیانه، مجموع بارش سالیانه و نیز تصاویر سنجنده مادیس به کار رفته است. با مقایسه پارامترهای هواشناسی شامل میانگین دمای سالیانه، میزان بارش سالیانه و همچنین مقایسه نقشه‌های شاخص بارش استاندارد و شاخص پوشش گیاهی بازرسیده، وضعیت خشکسالی منطقه در دوره زمانی هفده ساله‌ای بررسی شده است. نتایج بررسی دو شاخص بارش استاندارد شده و پوشش گیاهی بازرسیده نشان می‌دهد که خشکسالی ناشی از تغییرات بارشی دارای راستای غرب به شرق است و پدیده خشکسالی در مناطق شرقی شدت بیشتری دارد. در این راستا، مناطق جنوبی حساسیت بالاتری نشان داده‌اند که در مجموع، مناطق جنوبی، به‌ویژه جنوب شرق استان، بیشترین آسیب‌پذیری را در پدیده خشکسالی داشته‌اند. مناطق دارای حساسیت بسیار بالای خشکسالی حدود ۱۰٪ مساحت اراضی استان را پوشش می‌دهد و این در حالی است که ۹۱٪ از مساحت مناطق با حساسیت بسیار زیاد خشکسالی در کاربری کشت گندم دیم قرار دارد.

کلیدواژه‌ها: خشکسالی، کردستان، شاخص بارش استاندارد شده، شاخص پوشش گیاهی بازرسیده، سنجنده مادیس.

* نویسنده مکاتبه کننده: تهران، خیابان ولی‌عصر، دانشگاه صنعتی خواجه نصیرالدین طوسی، دانشکده مهندسی زیست‌دزی و زیست‌تکنیک، کد پستی ۱۹۹۶۷۱۵۴۳۳.
تلفن: ۰۹۱۲۱۴۸۲۱۷۴.

۱- مقدمه

بهنحوی که از خشکسالی ارزیابی و پایش مؤثری داشته باشند، ضروری و اساسی است (جوادنیا و مباشری، ۱۳۸۶). خشکسالی هواشناسی^۱ زمانی حادث می‌شود که میزان بارندگی سالیانه کمتر از میانگین درازمدت آن باشد. این کمیود بارندگی ممکن است به نسبت میانگین نرمال منطقه و یا طول دوره خشک ارزیابی شود؛ اما خشکسالی کشاورزی^۲ زمانی به وجود می‌آید که در فاصله بین دو بارندگی، ذخیره رطوبتی ریشه در خاک برای زنده‌ماندن محصولات کشاورزی، گیاهان طبیعی و مراعط کفايت نکند (رضیئی و همکاران، ۱۳۸۶).

تمایز این پدیده با دیگر مخاطرات طبیعی در این است که برخلاف سایر مخاطرات طبیعی، این پدیده به تدریج و در دوره زمانی نسبتاً طولانی عمل می‌کند و آثار آن ممکن است پس از چند سال و با تأخیر بیشتری در مقایسه با دیگر حوادث طبیعی ظاهر شود؛ بنابراین، چون تعیین دقیق زمان شروع آن کار مشکلی است، تا حدودی آن را پدیده و بلیه‌ای خزنده می‌دانند. از سویی، برخلاف سایر بلایای طبیعی، خشکسالی به خسارات ساختاری کمتری منجر می‌شود؛ ازین‌رو، کمک رسانی در هنگام وقوع این پدیده، در مقایسه با پدیده‌های دیگر مانند سیل، پیچیده‌تر و مشکل‌تر است (طالبی و موسوی، ۱۳۸۹؛ سعادتی و همکاران، ۱۳۹۵). یکی از گام‌های مهم و اساسی در مطالعات خشکسالی، در هر منطقه، تعیین شاخص‌هایی است که بتوان، براساس آنها، میزان شدت و تداوم خشک سالی و یا ترسالی را ارزیابی کرد. بیشتر مطالعات درباره خشکسالی‌ها را می‌توان به دو دسته تقسیم کرد. دسته اول تحقیقاتی‌اند که به کمک آزمون‌های گوناگون (من-کنдал، فیشر و...) روند دوره‌های تر و خشک نوسانات زمانی و مکانی عناصر اقلیمی را بررسی می‌کنند.

-
1. Drought
 2. Meteorological Drought
 3. Agricultural Drought

محدودیت منابع آب در دسترس از یکسو و مصرف درصد بالایی از منابع آب در بخش کشاورزی برای آبیاری و آب‌شویی، افزایش جمعیت و نیاز آن‌ها به مواد غذایی از سوی دیگر، آب را به منزله کالای اقتصادی ارزشمندی مطرح کرده است. به همین دلیل، مدیریت مصرف بهینه آب، در چهار دهه گذشته، مهم‌ترین موضوع بسیاری از محافل تخصصی شده است. در همه این محافل، تأکید بر این نکته بوده که پایش و ارزیابی کلید موفقیت در این امر است. کشور ایران در منطقه خشک و نیمه‌خشک جهان واقع شده و متوسط سالیانه بارندگی آن حدود یک‌سوم بارندگی سالیانه کره زمین و متوسط سالیانه تبخیر آن حدود سه‌بار برابر تبخیر سالیانه کره زمین است.

خشکسالی^۳ پدیده‌ای جهانی است که معمولاً در هر منطقه‌ای رخ می‌دهد و می‌تواند خسارات معنای‌بی‌به انسان و اکوسیستم‌های طبیعی وارد آورد؛ بنابراین، تحقیق و مطالعه در این زمینه بسیار ضروری است. این پدیده از جمله پدیده‌هایی است که هر ساله خسارات فراوانی در نواحی گوناگون این کره خاکی به ساکنان آن تحمیل می‌کند و می‌تواند تأثیرات جدی اقتصادی، اجتماعی و زیستمحیطی به همراه داشته باشد. آنچه باعث می‌شود این پدیده به بلا تبدیل شود آسیب‌پذیری بشر در برابر آن است (حدیری و همکاران، ۱۳۹۵).

خشکسالی زمانی رخ می‌دهد که تبخیر سطحی و تبخیر آب از گیاهان بیشتر از حد معمول در مدتی معین بشود. خشکسالی جدی‌ترین معضل فیزیکی برای کشاورزی در همه‌جای دنیاست (خاتمی و مدنی، ۱۳۹۳) (Chopra, 2006). امروزه، با بروز خشکسالی‌های پیاپی و کاهش منابع آبی و علاوه‌بر آن، با افزایش جمعیت و به‌تبع آن افزایش مصرف آب، فقط با مطالعه و برنامه‌ریزی دقیق براساس استعدادها و محدودیت‌های هر نقطه می‌توان توسعه پایدار مطمئنی ایجاد کرد (برقی و معمار امامیه، ۱۳۹۵؛ مصباح‌زاده و همکاران، ۱۳۹۴). وجود شاخص‌های مناسب، کارآ و مورد اعتماد،

بهترین روش اندازه‌گیری خشکسالی معرفی کردند و نشان دادند، در مقیاس یک ماهه، نمایه بارش استاندارد بهتر از دیگر نمایه‌ها در ثبت آغاز شرایط خشکسالی عمل می‌کند (Dupigny-Giroux, 2001).

در ایران نیز، بحسب نیاز و با توجه به ویژگی‌های اقلیمی مناطق متفاوت، مطالعاتی در زمینه خشکسالی انجام شده است. در پژوهشی با عنوان «بهبود شاخص عمودی خشکسالی اصلاح شده»، به منظور برآورد میزان خشکسالی در مناطق خشک مرکزی ایران، مشخص شده است شاخص‌هایی که بازتاب خاک در آنها در نظر گرفته شده، در مقایسه با سایر شاخص‌ها، با دقت بالاتری می‌توانند درصد پوشش گیاهی در مناطق خشک را تبیین کنند (درویش‌زاده و همکاران، ۱۳۹۱). در پژوهشی با عنوان «توییزدایی و پیش‌بینی سری زمانی بر پایه الگوریتم موجک و نظریه آشوب (مطالعه مورده: شاخص پایش خشکسالی بارش استاندارد شده شهر تبریز)»، نتایج نشان‌دهنده رفتار کاملاً آشوبناک سری زمانی مورد بررسی است که برای پیش‌بینی مقادیر بارش استاندارد شده با استفاده از نظریه آشوب، از الگوریتم نزدیک‌ترین همسایگی کاذب استفاده شده است (حسن‌زاده و همکاران، ۱۳۹۱).

نتایج پژوهشی با عنوان «بررسی ارتباط خشکسالی‌های هواشناسی و هیدرولوژیکی دشت مشهد» نشان می‌دهند شاخص هیدرولوژیکی SDI^۱ در مقیاس‌های متفاوت زمانی می‌تواند هماهنگی مورد قبولی با شاخص خشکسالی هواشناسی بارش استاندارد شده، در همان مقیاس‌های زمانی، داشته باشد (وردي پورآزاد و همکاران، ۱۳۹۳).

طبق نتایج پژوهشی با نام «تحلیل و پایش خشکسالی هواشناسی منطقه سیستان و بلوچستان»،

این پژوهش‌ها به نتایجی درباره وجود و یا فقدان تعییرات اقلیمی و نوسانات دما و بارش در نقاط گوناگون جهان دست یافته‌اند و در این زمینه، استفاده از شاخص‌های متفاوتی همچون شاخص بارش استاندارد شده، شاخص درصد رسک خشکسالی و شاخص نمره Z مورد توجه قرار گرفته است (اختری و همکاران، ۱۳۸۵). دسته دوم تحقیقاتی را شامل می‌شود که با استفاده از مدل‌سازی و روش‌های آنالیک، پیجیده‌تر ریاضی و آماری، مانند مدل‌های Sarima، Correlation Models رگرسیونی، علاوه‌بر تحلیل خشکسالی‌ها، فاکتورهای اقلیمی مرتبط با ابعاد گوناگون آن را نیز پیش‌بینی کرده‌اند (حجازی‌زاده و پروین، ۱۳۸۶). شاخص‌های متفاوت پوشش گیاهی نیز، از جمله شاخص پوشش گیاهی تفاضلی نرمال شده^۲ و پوشش گیاهی بارز شده، در تعیین خشکسالی کشاورزی منطقه استفاده می‌شوند.

در بررسی خشکسالی ایالت کلرادو آمریکا، اثبات شد شاخص بارش استاندارد شده می‌تواند زمان آغاز خشکسالی و پیشرفت آن را تشخیص دهد (Guttman, 1998; Hayes & Center, 2002). تحقیقات نشان داد که نتایج شاخص بارش استاندارد شده، برخلاف دیگر شاخص‌ها، از منطقه‌های به منطقه دیگر تغییر نمی‌کند (Dupigny-Giroux, 1999).

در تحقیق دیگری، از بین شاخص‌های تجزیه و تحلیل خشکسالی، شاخص بارش استاندارد شده برای مطالعه در مقیاس مکانی کوچک (در حد استان و شهر) به منزله بهترین روش معرفی شد. تحقیقات نشان دادند که این شاخص خشکسالی مناطق را، دست کم یک ماه زودتر از دیگر شاخص‌ها، نشان می‌دهد. بنابراین، آن را شاخصی مناسب برای هشدار سریع خشکسالی معرفی کردند (Hayes et al., 1999). همچنین، برای بررسی تأثیرات خشکسالی در سال ۱۹۹۸-۱۹۹۹ در منطقه وینت^۳، از بین نمایه‌های تجزیه و تحلیل خشکسالی، نمایه بارش استاندارد شده را برای مطالعه در بازه‌های زمانی کوچک تا متوسط،

-
1. Normalized Difference Vegetation Index
 2. Wement
 3. Modified Perpendicular Drought Index
 4. Streamflow Drought Index

شد. این کار با استفاده از شاخص پوشش گیاهی بارزشده تصاویر مادیس انجام گرفت. طبق نتایج، شاخص پوشش گیاهی بارزشده طی دوره زمانی ۲۰۰۱ تا ۲۰۰۵، با بیشینه و کمینه به ترتیب ۰.۶ و ۰ در سال ۲۰۰۱ و ۰.۸ و ۰ در سال ۲۰۰۵، بیشترین تغییرات را نشان داده و این زمان‌ها با بیشترین احتمال آسیب‌پذیری به بیابان‌زایی همراه بوده است (پاشایی‌نژاد و همکاران، ۱۳۹۴).

بنابراین، در مقاله حاضر، قابلیت‌های پوشش گیاهی بارزشده و بارش استانداردشده برای پنهان‌بندی مناطق حساس به پدیده خشک‌سالی و بحرانی از این لحاظ، در سطح استان کردستان، بررسی شده است.

۲- مواد و روش‌ها

۲-۱- معرفی منطقه مورد مطالعه

استان کردستان یکی از استان‌های ایران، به مرکزیت شهر سنندج، محسوب می‌شود که در غرب کشور واقع شده است. این استان با مساحت ۲۸۲۰۳ کیلومترمربع، معادل ۱۱.۷٪ مساحت کل کشور، مجاور کشور عراق و در مختصات جغرافیایی بین ۳۴ درجه و ۴۴ دقیقه تا ۳۶ درجه و ۳۰ دقیقه عرض شمالی و ۴۵ درجه و ۲۱ دقیقه تا ۴۸ درجه و ۱۶ دقیقه طول شرقی از نصف‌النهار گرینویچ قرار دارد (شکل ۱). برپایه سرشماری عمومی نفوس و مسکن سال ۱۳۹۵، ۱۱۰۳۰۱۱ نفر جمعیت دارد که ۶۶٪ آن را جمعیت شهری و ۳۴٪ آن را نیز جمعیت روستایی تشکیل می‌دهند. تراکم نسبی جمعیت آن نیز معادل ۵۱.۲ نفر در کیلومترمربع است.

شاخص SDI، در مقایسه با روش‌های PC، ZI، PNPI و RAI در مقیاس فصلی و سالیانه، برآوردهای مورد قبول تری ارائه می‌دهد (زارع ابیانه، ۱۳۹۴). در تحقیقی با موضوع ارزیابی کارآیی شاخص‌های طیفی پوشش گیاهی پهن‌باند در پیش‌بینی شرایط خشک‌سالی در ایران نیز از شاخص‌های پوشش گیاهی، اعم از شاخص پوشش گیاهی تفاضلی نرمال‌شده، شاخص وضعیت پوشش گیاهی^۱ و شاخص شرایط دما^۲ در پیش‌بینی خشک‌سالی و شاخص بارش استانداردشده در بیان خشک‌سالی به‌وقوع پیوسته در سطح منطقه استفاده شد. نتایج این پژوهش رابطه‌ای منطقی را بین شاخص‌های پوشش گیاهی با شاخص بارش استانداردشده نشان می‌دهند (حیدری و همکاران، ۱۳۹۵؛ غفاری و همکاران، ۱۳۹۴). در پژوهشی دیگر، به‌منظور کمی‌سازی کمبود بارش و پایش وضعیت خشک‌سالی برای مقیاس‌های ۳، ۶، ۱۲، ۲۴ و ۴۸ ماهه، شاخص بارش استانداردشده را ارائه دادند (McKee & Doesken, 1993)؛ این شاخص به‌علت ساده بودن محاسبات، استفاده از داده‌های بارندگی در دسترس، امکان محاسبه برای مقیاس زمانی دلخواه و قابلیت بسیار زیاد در مقایسه مکانی نتایج، مناسب‌ترین شاخص در بررسی خشک‌سالی شناخته می‌شود (Hayes et al., 1999).

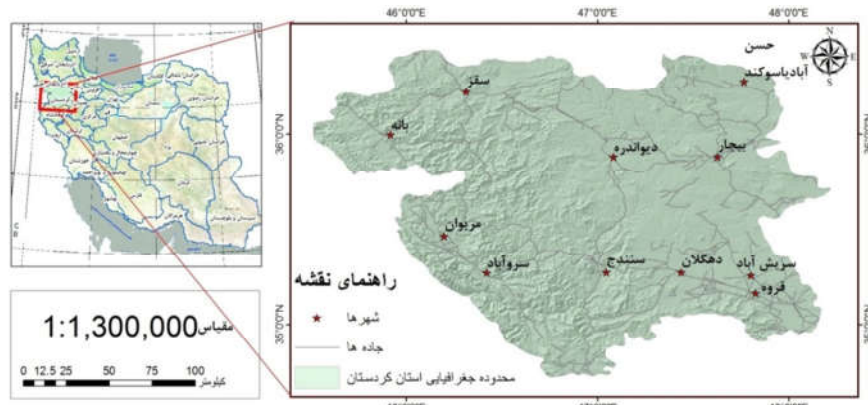
در بررسی خشکیدگی مخاطره‌آمیز درختان جنگلی استان ایلام با بهره‌گیری از تصاویر ماهواره‌لنست، شاخص پوشش گیاهی بارزشده به‌کار رفت که همبستگی بالاتری با پوشش جنگلی در دوره زمانی پانزده ساله داشت. نتایج بررسی رابطه شاخص پوشش گیاهی بارزشده با شاخص بارش استانداردشده در دوره زمانی یک‌ساله نشان‌دهنده ضریب همبستگی ۰.۷۳ بود (رستمنیا و آخوندزاده، ۱۳۹۵).

همچنین، به‌منظور بررسی آسیب‌پذیری استان خراسان رضوی در برابر بیابان‌زایی، در سال ۱۳۹۴ تغییرات پوشش گیاهی در چهار دوره زمانی بررسی

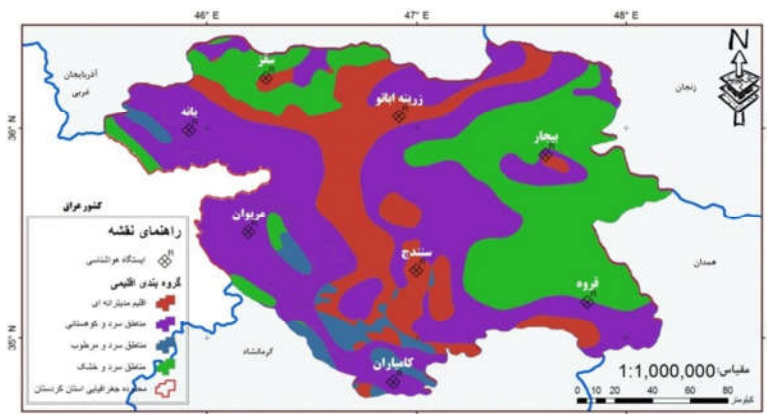
1. Vegetation Condition Index
2. Temperature Condition Index

اقلیمی، معادل ۵۰۰ میلی‌متر است. غفاری و همکاران (۱۳۹۴) سرزمین ایران را در شش کلاس اقلیمی طبقه‌بندی کردند که چهار کلاس اقلیمی در استان کردستان قرار دارد. شیان ذکر است که استان یادشده دارای هشت ایستگاه هواشناسی در شهرهای سennدج، سقز، بانه، بیجار، زربنیه ابتو، مریوان، فروه و کامیاران است که توزیع آنها در سطح استان در شکل ۲ نشان داده شده است.

اقلیم کردستان متأثر از توده‌های هوای گرم و مرطوب مدیترانه‌ای است که این توده‌ها موجب بارندگی‌هایی در بهار و ریزش برف در زمستان می‌شود. این توده‌های هوایی نشتگرفته از افیانوس اطلس و دریای مدیترانه، با برخورد به ارتفاعات زاگرس، بیشتر رطوبت خود را به صورت بارش‌های پراکنده برف و باران در این منطقه تخلیه می‌کنند. تعداد روزهای یخبندان در ۱۰۹ روز و میزان بارندگی سالیانه، در شرایط عادی ۱۰۹ روز و میزان بارندگی سالیانه، در شرایط عادی



شکل ۱. موقعیت منطقه مورد مطالعه (استان کردستان)



شکل ۲. نقشه پهنه‌بندی اقلیمی بهمراه توزیع مکانی ایستگاه‌های هواشناسی در استان

منبع: غفاری و همکاران، ۱۳۹۴

۳-۲- فرایند تحقیق

با توجه به فلوچارت تحقیق در شکل ۳، پس از ایجاد لایه نقطه‌ای ایستگاه‌های هواشناسی، اطلاعات توصیفی همچون مجموع بارش سالیانه به لایه مذکور افزوده شد. با روش درون‌یابی وزن‌دهی معکوس فاصله^۱، لایه‌های بارش سالیانه پدید آمد. در همین راستا، شاخص بارش استاندارد شده در دوره زمانی هفده ساله، برای هر سال آیی، در مقیاس پیکسل نیز محاسبه شد. آنگاه، برای پهنه‌بندی اراضی منطقه براساس میانگین شاخص بارش استاندارد شده، به منزله شدت خشک‌سالی، و نیز براساس واریانس بارش طی دوره هفده ساله تحقیق، از نظر خشک‌سالی، اقدام شد.

از سوی دیگر، با به کارگیری تکنیک‌های سنجش از دور، شاخص پوشش گیاهی بارز شده با استفاده از محصولات سنجنده مادیس، مربوط به پوشش گیاهی شانزده روزه، استخراج شد. شایان ذکر است که تصاویر دریافتی متعلق به اوآخر فصل بهار است تا با استفاده از تصاویر در همان زمان، تغییرات پوشش گیاهی منطقه و تأثیر متفاوت بارش در روند رشد پوشش گیاهی در سال‌های گوناگون آشکار شود.

برای پهنه‌بندی منطقه با بهره‌گیری از لایه پوشش گیاهی بارز شده در هفده سال، واریانس تغییرات پوشش گیاهی در طول دوره زمانی یادشده محاسبه شد. مناطق حساس به پدیده خشک‌سالی مناطقی‌اند که بالاترین واریانس تغییرات در پوشش گیاهی را دارند که در مجموع، کل اراضی استان به سه کلاس واریانس تغییرات بالا، متوسط و پایین طبقه‌بندی شد. پهنه‌بندی اراضی دارای حساسیت خشک‌سالی با استفاده از تلاقی سه ویژگی شدت خشک‌سالی، واریانس تغییرات در شاخص بارش و همچنین واریانس تغییرات در شاخص پوشش گیاهی انجام شد و اراضی استان در چهار کلاس متفاوت حساسیت به پدیده خشک‌سالی قرار گرفتند.

1. Enhanced Vegetation Index (EVI)
2. Inverse Distance Weighted

پدیده خشک‌سالی در استان کردستان هر چند سال یکبار اتفاق می‌افتد که باعث رسیدن خسارات زیادی به کشاورزان و دامبروران می‌شود. پهنه‌بندی زمانی و مکانی خشک‌سالی برای برنامه‌ریزی‌های کاهش خسارات در استان اهمیت بسیاری دارد. این استان تحت تأثیر آب‌وهوای مدیترانه‌ای قرار دارد و به علت ساختار کوهستانی، دارای بارش‌هایی در پاییز، زمستان و بهار است. در تابستان، به دلیل فقدان بارش و تبخیر و تعرق، آب‌وهوای گرم و خشک دارد و دما در برخی مناطق استان از ۴۰ درجه سانتی‌گراد نیز بیشتر می‌شود. به تازگی و با توجه به گرم شدن کره زمین و کاهش نزولات جوی، به ویژه برف، و استفاده بی‌رویه از منابع آب زیرزمینی، شاهد بحران کم‌آبی و خشک‌سالی شدید فصلی در این استان هستیم. از تأثیرات مخرب این وقایع می‌توان به کاهش چشمگیر سطح آب‌های زیرزمینی و فرون‌نشست زمین در دشت‌های استان، همچون دشت قروه و دهکلان، کاهش شدید ذخیره آب پشت سدهای استان، فرسایش خاک، کاهش محصولات کشاورزی، خشک‌شدن بسیاری از چشمه‌ها و رودخانه‌ها، تأثیر در زندگی اجتماعی و بیکارشدن مردم اشاره کرد.

۲-۲- داده‌های مورد استفاده

۱. داده‌های ایستگاه هواشناسی شامل مجموع بارش نزولات جوی سالیانه؛
 ۲. شاخص پوشش گیاهی بارز شده^۱ استخراج شده از تصاویر سنجنده مادیس؛
 ۳. کاربری اراضی استان کردستان.
- شایان ذکر است که تمامی داده‌های مورد استفاده در بازه زمانی هفده سال، از ۱۳۸۰ تا ۱۳۹۶ ه. ش.^۲ بررسی و تجزیه و تحلیل شده‌اند. همچنین، شاخص پوشش گیاهی بارز شده مربوط به خردادماه هر سال انتخاب شده است تا تأثیر خشک‌سالی در روند رشد پوشش گیاهی به خوبی ملاحظه شود.



شکل ۳. روند نمای روش تحقیق

بارش برای بازه زمانی خاصی محاسبه می‌شود و سپس، با تقسیم بر انحراف معیار بارش در همان بازه زمانی، مطابق رابطه (۱) به دست می‌آید.

$$SPI = \frac{x-\mu}{\sigma} \quad (1)$$

به دلیل اینکه بارش، برای مقیاس‌های زمانی کمتر از دوازده ماه، پراکنده‌گی نرمال ندارد، سازگاری و روشی شکل می‌گیرد که به شاخص بارش استاندارد شده امکان می‌دهد توزیع نرمال داشته باشد؛ بنابراین، متوسط شاخص بارش استاندارد شده برای یک بازه زمانی، همگرا به ۰ است و انحراف معیار ۱ دارد. این نکته مزیت محسوب می‌شود زیرا شاخص بارش استاندارد شده نرمال می‌شود؛ بنابراین، اقلیم‌های مرتکوب‌تر و خشک‌تر می‌توانند از طریق مشابهی ارائه شوند.

به منظور بررسی آماری نتایج استخراج شده و تعیین رابطه دو شاخص مورد استفاده در تحقیق، رگرسیون خطی، در سطح کل استان و همچنین به صورت

افرادی، برای هر یک از شهرستان‌ها انجام شد.

سپس با هدف بررسی تأثیرگذاری پدیده خشکسالی در کاربری‌های متفاوت اراضی در سطح استان، از لایه کاربری زمین استفاده شد. با تلاقی مناطق دارای حساسیت بسیار زیاد خشکسالی حاصل از تحقق با لایه کاربری زمین، نوع کلایس‌ها و مساحت مؤثر آن‌ها در شرایط حساس وقوع پدیده خشکسالی مشخص شد.

۴-۲- محاسبه شاخص‌ها

۴-۱-۱- محاسبه شاخص بارش استاندارد شده
شاخص بارش استاندارد شده با اختلاف بارش از میانگین

ضرایب C1 و C2 و L به ترتیب ۶، ۷.۵ و ۱ در نظر گرفته می‌شود. G نیز فاکتور Gain است که ۲.۵ در نظر گرفته می‌شود (رابطه (۲)).

$$EVI = \frac{p^{*}nir - p^{*}red}{p^{*}nir + C_1 p^{*}red - C_2 p^{*}Blue + L} (1 + L) \quad (2)$$

یک سیستم طبقه‌بندی برای تعریف شدت‌های خشکسالی منتج از شاخص بارش استاندارد شده به کار می‌رود؛ از این‌رو، طبقات متفاوت ترسالی و خشکسالی براساس مقادیر متفاوت این شاخص در جدول ۱ عبارت‌اند از:

جدول ۱. طبقات متفاوت ترسالی و خشکسالی براساس مقادیر متفاوت شاخص بارش استاندارد شده

مقادیر بارش استاندارد شده	مقادیر بارش استاندارد شده	شاخص پهنه‌بندی	طبقات خشکسالی	مقادیر بارش استاندارد شده
۲ و بیشتر	-۰.۹۹ تا -۰	۱	فوق العاده مرطوب	۰ تا ۱.۹۹
۱.۵ تا ۱.۹۹	-۱ تا -۰.۴۹	۲	بسیار مرطوب	۱.۰ تا ۱.۴۵
۱.۰ تا ۱.۴۵	-۰.۴۹ تا -۰.۱۵	۳	نسبتاً مرطوب	۰ تا ۰.۹۹
نزدیک به نرمال	-۰.۱۵ تا ۰	۴	نزدیک به نرمال	منبع: حیدری و همکاران، ۱۳۹۵

این الگوریتم حساسیت به مناطق دارای بیومس زیاد را بهبود می‌دهد و پایش پوشش گیاهی را با تجزیه سیگنال پس‌زمینه تاج‌پوشش و کاهش تأثیرات اتمسفری، بهبود می‌بخشد. این شاخص به بیومس زیاد حساسیت بیشتری دارد؛ یعنی مانند NDVI اشباع نمی‌شود و بین مناطق دارای بیومس زیاد (بیومس با مقدار متفاوت) تمایز قابل می‌شود. با توجه به ویژگی‌های شاخص پوشش گیاهی بارز شده در تصاویر مادیس، به منظور استخراج پوشش گیاهی از این شاخص استفاده شده است (Jensen, 2010).

۳- نتایج

۳-۱- درون‌یابی بارش سالیانه به روش وزن‌دهی معکوس فاصله

با توجه به اهمیت بارش و تأثیر آن در خشکسالی، در شکل ۴، نقشه‌های مجموع بارش سالیانه با استفاده از روش درون‌یابی وزن‌دهی معکوس فاصله^۱ استخراج شد. ملاحظه می‌شود که در طول دوره زمانی مورد مطالعه، به جز سال‌های ۸۷ و ۹۱ و ۹۲، در بیشتر سال‌ها،

رخداد خشکسالی هنگامی اتفاق می‌افتد که شاخص بارش استاندارد شده به صورت منفی تداوم یابد و شاخص بارش استاندارد شده به -۱- یا کمتر از آن بررسد. حادثه خشکسالی، هنگامی که شاخص بارش استاندارد شده مشیت شود، خاتمه می‌یابد. بنابراین، هر وقوع خشکسالی یک تداوم تعریف شده با شروع، پایان و شدت آن برای هر ماه، که حادثه ادامه داشته است، دارد.

۳-۲- شاخص پوشش گیاهی بارز شده

یکی از شاخص‌های مهم و پرکاربرد دارای قابلیت‌ها و صحت بالا شاخص پوشش گیاهی بارز شده است. این شاخص با به کارگیری باندهای آبی، قرمز و مادون قرمز نزدیک می‌تواند پهنه‌های دارای پوشش گیاهی را تفکیک کند.

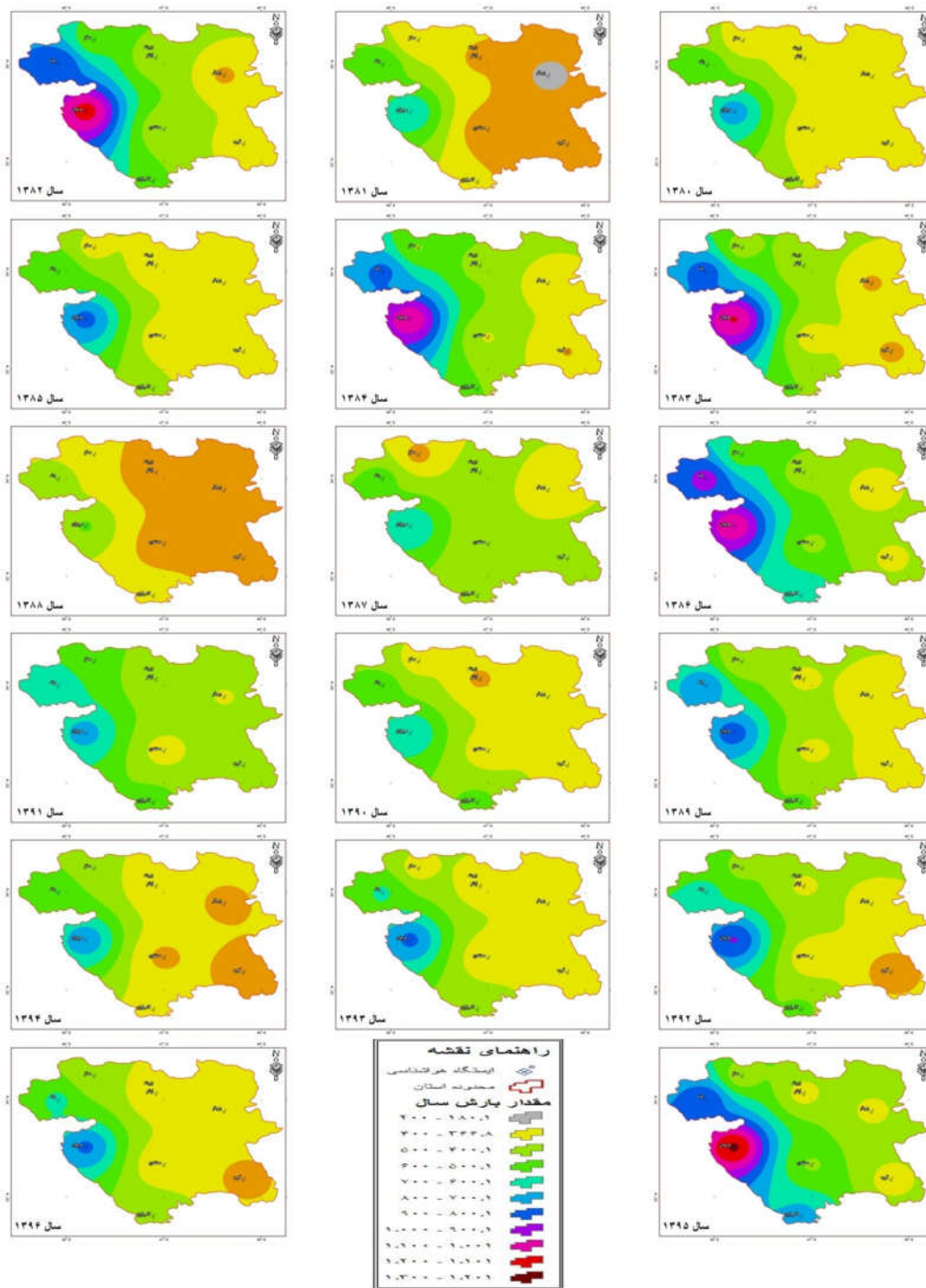
این شاخص را گروه توسعه MODIS مطرح کرده است (Jensen, 2010). در واقع، این شاخص اصلاح شده شاخص پوشش گیاهی تفاضلی نرمال شده است که از یک فاکتور تعديل خاک (L) و دو ضریب C1 و C2 (توصیف کننده استفاده از باند آبی برای تصحیح پخش اتمسفری آتروسل در باند قرمز) استفاده می‌کند.

1. Inverse Distance Weighted

ترکیب شاخص‌های EVI و SPI برای پیوندی مناطق حساس به خشکسالی ...

استان در سال‌های ۸۲ و ۸۳ و ۹۵ مشاهده شده و کمترین بارش‌ها به سال‌های ۸۷ و ۸۸ و ۹۴ متعلق است.

مجموع بارش سالیانه روند یکسانی داشته است و در سال‌های ۸۷ و ۹۱ و ۹۲ نیز، تغییرات به صورت جزئی در سطح منطقه مشاهده می‌شود. بیشترین بارش‌ها در سطح

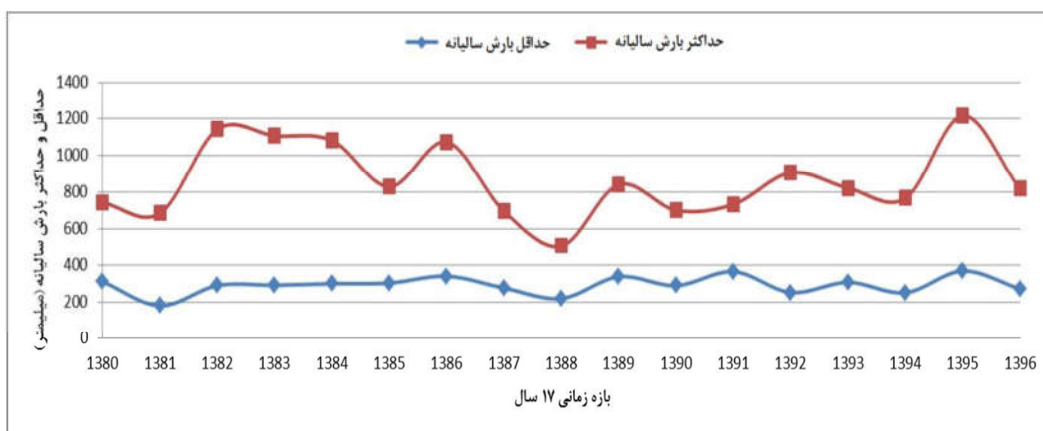


شکل ۴. نقشه‌های بارش سالیانه از سال ۱۳۹۶ تا ۱۳۸۰

سنجش از دور و GIS ایران
سال سیزدهم شماره دوم تابستان ۱۴۰۰

و افزایش بارش در این نواحی، پوشش گیاهی در غرب منطقه توسعه بیشتری را در مقایسه با مناطق شرقی نشان می‌دهد. این در صورتی است که در تمامی سطوح منطقه، وجود رودخانه‌ها موجب افزایش و گسترش رشد پوشش گیاهی در نزدیکی رودخانه‌ها می‌شود. بنابراین، در ادامه، نقشه‌های پوشش گیاهی کلاس‌بندی شده در

همان‌طور که در نمودار حداکثر و حداقل میزان بارش سالیانه در سطح استان (شکل ۵) نشان داده شده است، حداقل بارش سالیانه ثبات روند بیشتری داشته و این در حالی است که حداکثر بارش سالیانه استان اختلافی بیش از ۶۰۰ میلی‌متر در سال‌های مورد بررسی داشته است.



شکل ۵. نمودار حداکثر و حداقل میزان بارش سالیانه در سال‌های ۱۳۹۶ تا ۱۳۸۰

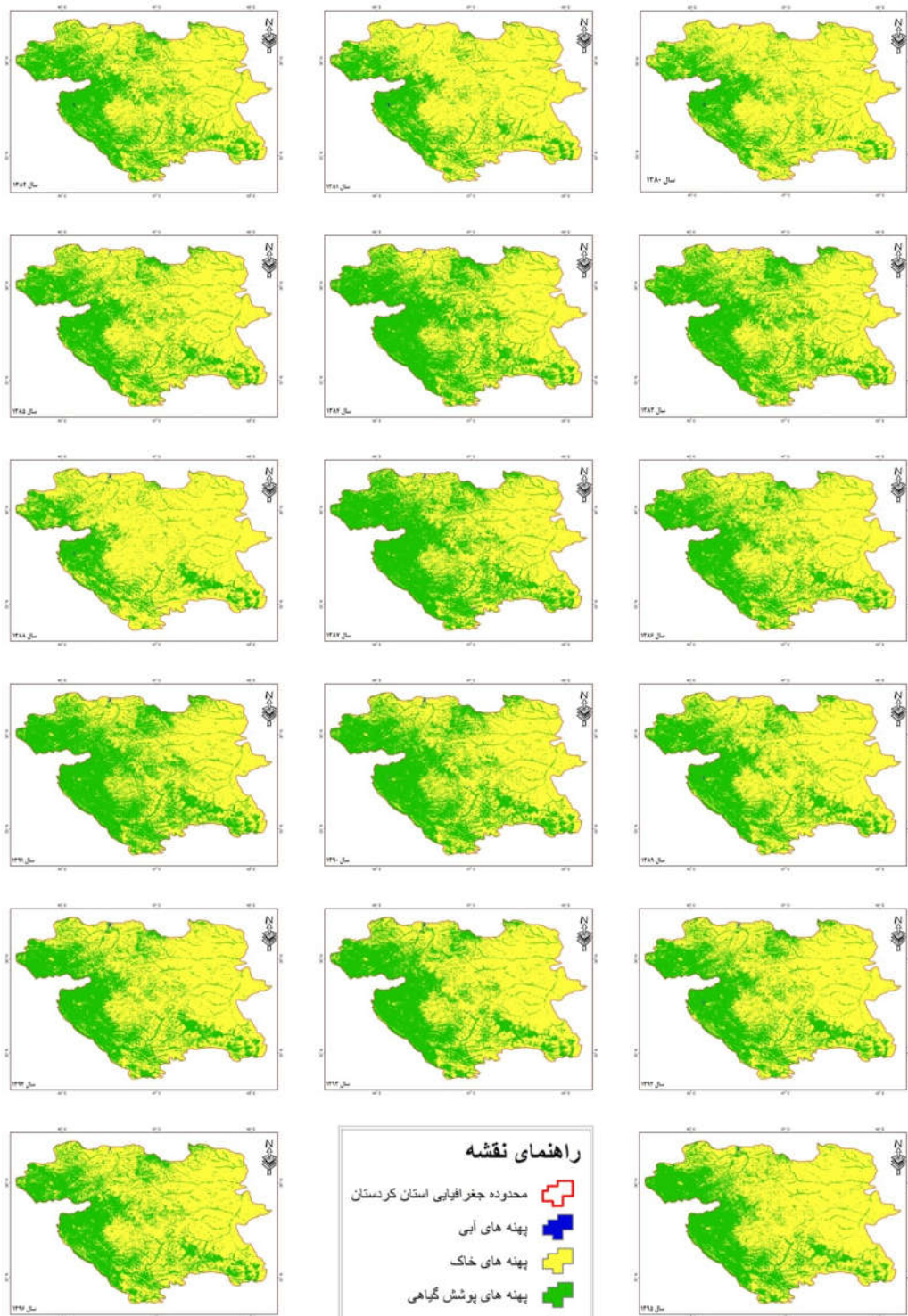
سطح استان با سه کلاس پوشش گیاهی، پهنه‌های خاک و پهنه‌های آبی، متعلق به هفده سال بازه زمانی مورد مطالعه تحقیق، مشاهده می‌شود (شکل ۶).

۳-۳- محاسبه شاخص بارش استاندارد شده در این بخش، شاخص بارش استاندارد شده در مقیاس زمانی یک ساله در سطح استان محاسبه و تولید شد. نقشه‌های شاخص بارش استاندارد شده در هفده سال دوره زمانی تعیین شده در شکل ۷ مشاهده می‌شود. با توجه به نقشه‌های ارائه شده، بین سال‌های مورد بررسی، سال‌های ۸۲ و ۸۶ و ۹۵ و شرایط مناسبی داشته‌اند و در بیشتر سال‌ها، وضعیت نسبتاً خشک در منطقه حاکم است. از دیدگاه خشک‌سالی، بین سال‌های مورد بررسی، سال‌های ۸۱ و ۸۸ وضعیتی بسیار نگران‌کننده‌تر از سال‌های دیگر داشته‌اند (شکل ۸).

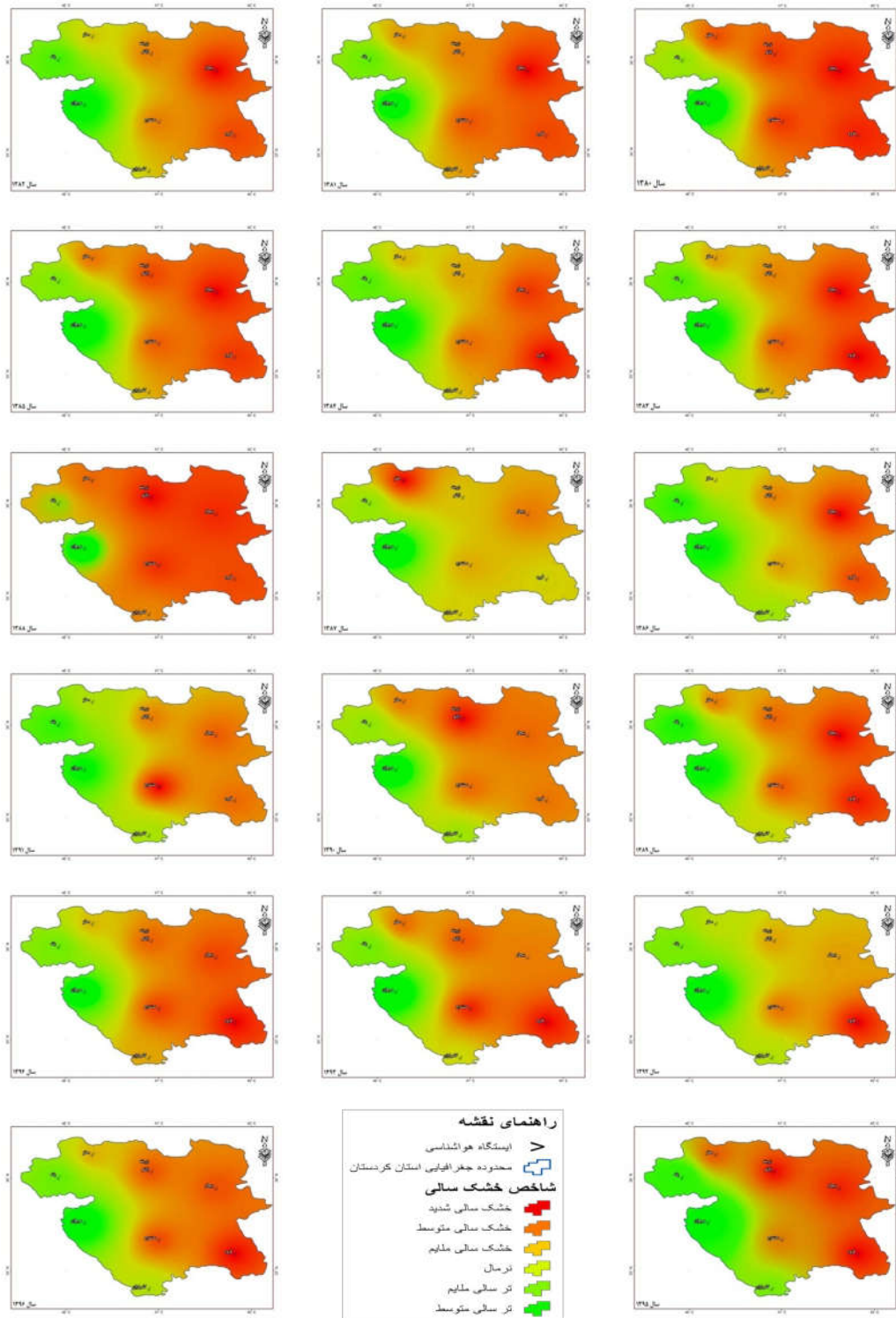
۳-۴- محاسبه شاخص پوشش گیاهی بارز شده در این بخش، با توجه به وسعت پهنه مورد مطالعه، از تصاویر سنجنده مادیس استفاده شد. با توجه به اینکه پوشش گیاهی، در اوایل فصل بهار، بیشترین رشد خود را دارد و اینکه برای مقایسه و شناسایی تغییرات پوشش گیاهی، در صورت امکان، باید عوامل ایجاد تغییر شامل فصل، ماه، سنجنده و... حذف شوند؛ از تصاویر مورد استفاده از سنجنده مادیس و بازه زمانی مورد استفاده در خرداماه هر سال بهره گرفته شد. شایان ذکر است که شاخص پوشش گیاهی بارز شده متعلق به میانگین پوشش گیاهی در دوره‌های شانزده روزه با قدرت تفکیک مکانی ۲۵۰ متر استخراج شد.

همان‌طور که در نقشه‌های شکل ۶ نشان داده شده است، با توجه به ساختار کوهستانی مناطق غربی استان

ترکیب شاخص‌های EVI و SPI برای پهنه‌بندی مناطق حساس به خشکسالی ...

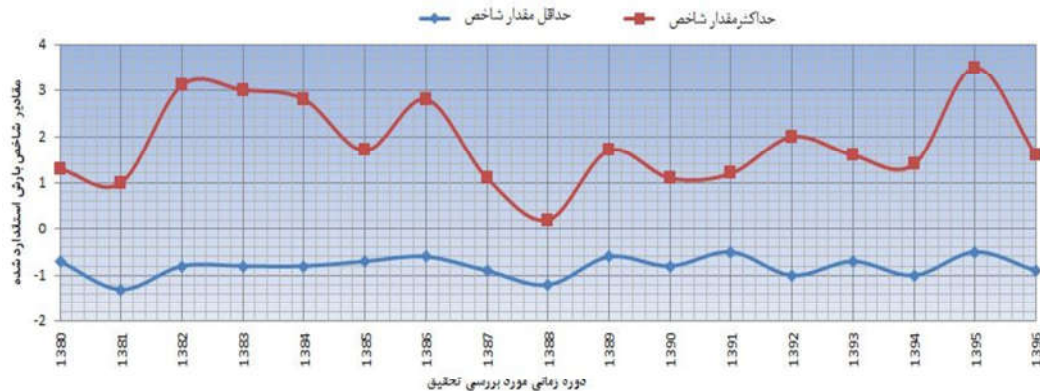


شکل ۶. نقشه‌های شاخص پوشش گیاهی بازشده سالیانه از ۱۳۸۰ تا ۱۳۹۶



شکل ۷. نقشه‌های شاخص بارش استاندارد شده سالیانه از سال ۱۳۸۰ تا ۱۳۹۶

سنجش از دور و GIS ایران
سال سیزدهم ■ شماره دوم ■ تابستان ۱۴۰۰

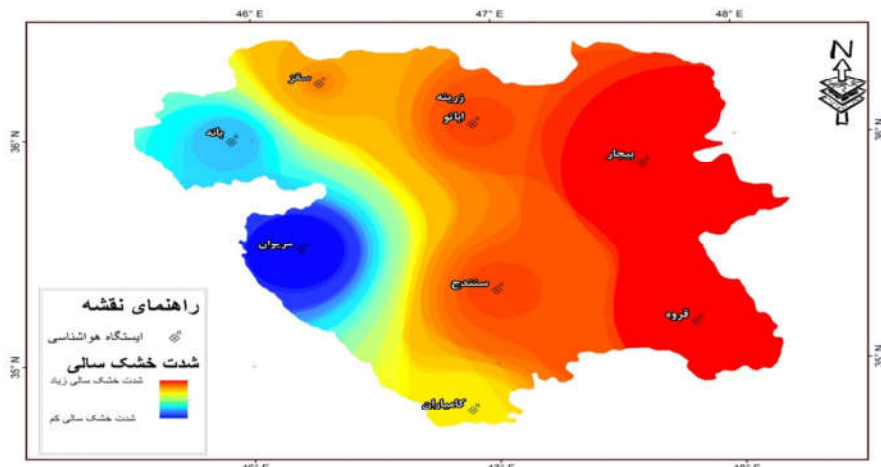


شکل ۸. نمودار حداقل و حداکثر مقدار عددی شاخص بارش استاندارد شده سالیانه از ۱۳۸۰ تا ۱۳۹۶

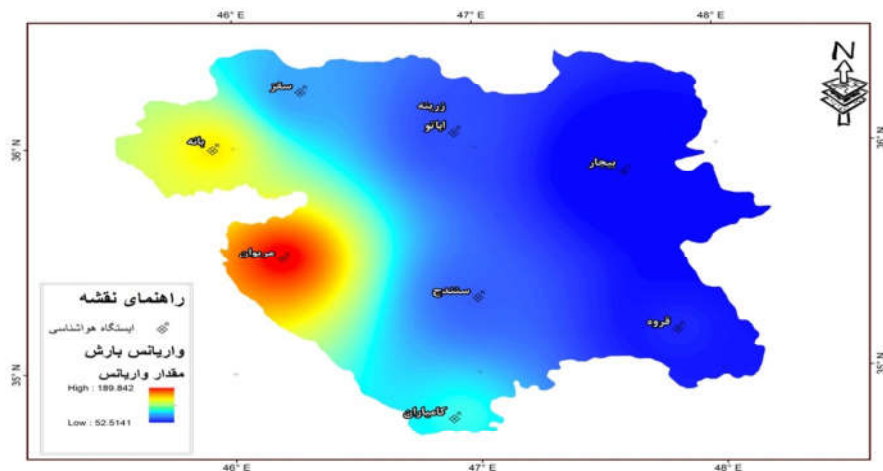
در انتهای، به منظور تعیین مناطق حساس و بحرانی در پدیده خشکسالی، لایه‌های شدت خشکسالی، تغییرپذیری بارش و تغییرپذیری پوشش گیاهی با یکدیگر ترکیب شدند. بدین ترتیب، از دید پدیده خشکسالی، مناطق در چهار سطح متفاوت قرار گرفتند و در شکل ۱۲، نواحی دارای حساسیت اندک خشکسالی تا نواحی با حساسیت بسیار زیاد خشکسالی دسته‌بندی شدند.

مطابق نتیجه به دست آمده از شاخص بارش استاندارد شده، نتایج حاصل از شدت خشکسالی و همچنین، واریانس بارش در طول هفده سال مورد مطالعه در شکل‌های ۹ و ۱۰ مشاهده می‌شود.

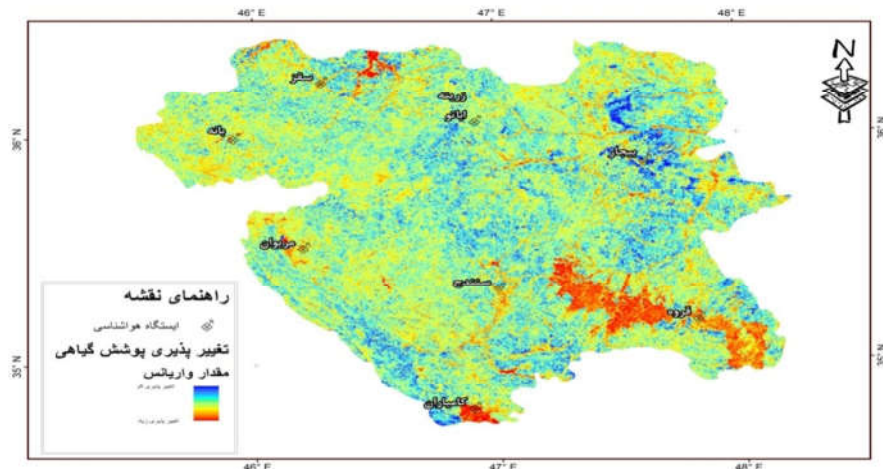
به منظور تعیین مناطق بحرانی از لحاظ تغییرات پوشش گیاهی نیز، لایه پوشش گیاهی بازشده طی هفده سال بررسی شد. نقشه تغییرپذیری پوشش گیاهی در سطح منطقه در شکل ۱۱ مشاهده می‌شود.



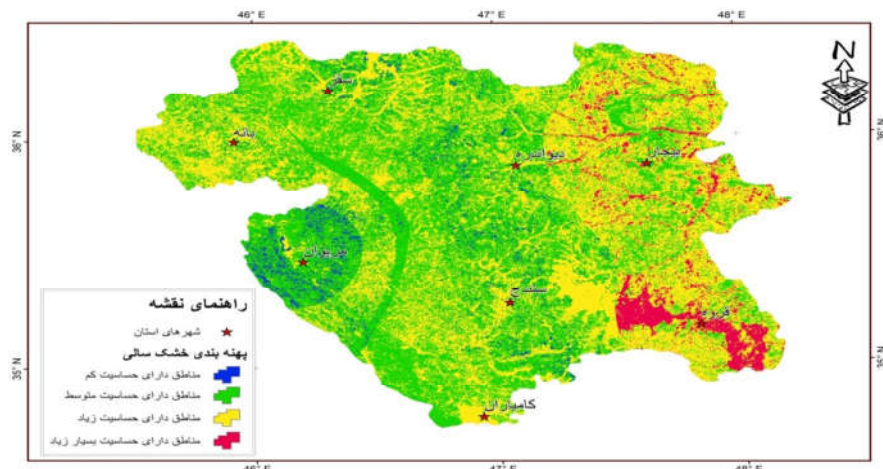
شکل ۹. پهنه‌بندی شدت خشکسالی با استفاده از شاخص بارش استاندارد شده در هفده سال



شکل ۱۰. تغییرپذیری بارش در بازه زمانی هفده سال



شکل ۱۱. تغییرپذیری شاخص پوشش گیاهی بازشده در بازه زمانی هفده سال



شکل ۱۲. درجه‌بندی مناطق دارای ریسک خشکسالی با حساسیت کم تا بسیار زیاد

۴-۳- اعتبارسنجی نتایج

به منظور اعتبارسنجی نتایج پهنه‌بندی تحقیق، از آمار و اطلاعات سازمان جهاد کشاورزی استان کردستان طی دوره زمانی تحقیق در سطح شهرستان استفاده شد. در شکل ۱۳، نمودار میزان تولیدات گندم دیم در واحد سطح (تن در هر هکتار) نشان داده شده است. در بررسی بعد زمانی تحقیق، مقایسه داده‌ها با نمودار شکل ۸ نشان می‌دهد که شاخص بارش استاندارد شده با میزان تولیدات گندم دیم رابطه مستقیم دارد؛ به طوری که در سال ۱۳۸۸ هم خشکسالی شدید در سطح استان رخ داده (شکل ۸) و هم میزان تولید گندم دیم بهشدت کاهش یافته است (شکل ۱۳)؛ در حالی که در سال‌های ۱۳۸۲ تا ۱۳۸۶ و نیز ۱۳۹۵، شاهد افزایش تولیدات گندم دیم در سطح استان هستیم. در شکل ۱۴، نمودار میزان کل تولید گندم دیم در سطح استان در طول دوره مورد بررسی مشاهده می‌شود. همان‌طور که در این نمودار نشان داده شده، تغییرات بالا و واریانس زیاد میزان کل تولید در سطح استان نشان از تأثیرپذیری کشت گندم دیم از بارش، در طول سال‌های گوناگون، و نیز تغییرپذیری مکانی کشت در سطح شهرستان‌های مختلف استان دارد.

در این بخش، برای تشخیص تأثیر خشکسالی در کاربری‌های گوناگون در سطح استان، لایه کاربری اراضی استان با پهنه‌های دارای حساسیت بسیار زیاد تلاقی یافت. خلاصه آماری مهم‌ترین کاربری‌های این نواحی، به ترتیب بیشترین مساحت، در جدول ۲ مشاهده می‌شود. نتایج بررسی کاربری زمین در منطقه نشان می‌دهد در نواحی پهنه‌بندی شده، که مناطق دارای حساسیت بسیار زیادند، کاربری کشت دیم با مساحتی بالغ بر ۴۳۴ کیلومترمربع و معادل ۴۳۴۰۰ هکتار دارای بالاترین مساحت است و بیش از ۹۱٪ مناطق دارای حساسیت بسیار زیاد در این کاربری قرار گرفته‌اند. مقایسه نتایج به دست آمده از این تحقیق با تحقیقات دیگر نشان‌دهنده دوره زمانی دو تا چهارساله تکرار خشکسالی و ترسالی در منطقه است و اینکه مناطق شرق و جنوب استان مناطق مستعد خشکسالی‌اند (مهری و علیزاده، ۱۳۹۴؛ عثمانی و ثانی خانی، ۱۳۹۵). در تمامی تحقیقاتی صورت گرفته در منطقه، سال ۱۳۸۸ بهمنزله خشکسالی شدید در دوره‌های زمانی گوناگون تعیین شده است. در نقشه‌های موجود، از بین شهرستان‌های استان، شهرستان قروه بهمنزله شهرستانی با شدیدترین وضعیت خشکسالی و تعداد دفعات بالای خشکسالی معرفی شده است. نتایج مذکور دقت و صحت نقشه‌های ارائه شده در تحقیق را بیان می‌کنند (طحان و معیا، ۱۳۹۱؛ مفخری و همکاران، ۱۳۹۵).

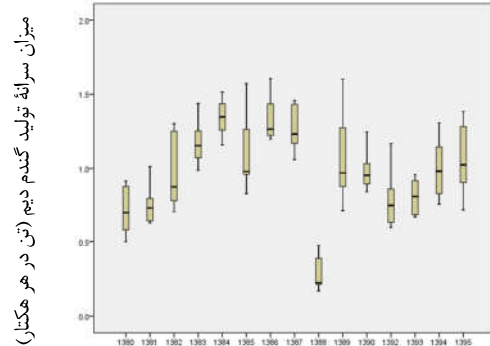
جدول ۲. آمار مهم‌ترین کاربری‌های متأثر از خشکسالی در مناطق حساس و بحرانی

ردیف	نوع کاربری	مجموع مساحت در کاربری (کیلومترمربع)	مساحت به درصد کل
۱	کشت دیم	۴۲۴.۵۶۴	۹۱.۱۵
۲	کشاورزی آبی و باغ	۲۵.۶۴۶	۵.۳۸
۳	پهنه‌های شهری	۱۰.۳۴۵	۲.۱۷
۴	مرتع با تراکم بالا، متوسط و کم	۵.۵۸۲	۱.۱۷
۵	پهنه‌های آبی	۰.۴۶۵	۰.۰۹
۶	زمین‌های بایر	۰.۱۵	۰.۰۳
مجموع		۴۷۶.۷۵	۱۰۰

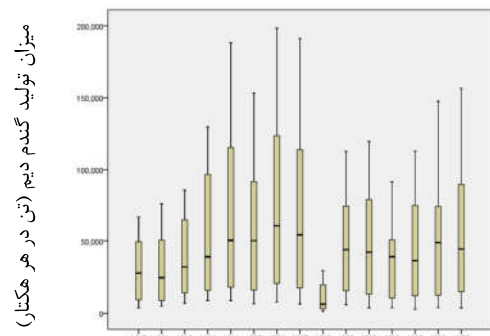
تا کنون داده‌های آماری از بعد زمانی در سطح استان بررسی شده‌اند. از نگاهی دیگر، میزان و واریانس تولید گندم دیم در شهرستان‌ها و از نظر بعد مکانی، می‌تواند تأثیر خشک‌سالی در هر شهرستان را بیان کند. در شکل ۱۶، نمودار تولید گندم دیم در سطح شهرستان‌های متفاوت، در طول هفده سال بازه زمانی تحقیق، ارائه شده است. نتایج نشان می‌دهند که شهرستان‌های بانه و مریوان دارای میزان کم تولیدات گندم دیم با واریانس اندک‌اند؛ در حالی که بیجار، قروه و دیواندره بیشترین تولیدات گندم دیم را با بالاترین واریانس دارند. دقیقت در شکل ۱۲، که درجه‌بندی حساسیت خشک‌سالی در سطح استان را نشان می‌دهد، مشخص می‌کند دو شهرستان بانه و مریوان در مناطق دارای کمترین حساسیت خشک‌سالی در سطح منطقه قرار دارند.

شهرستان‌های بیجار، قروه و دیواندره، به رغم بیشترین میزان تولید، بالاترین واریانس تولید گندم دیم را نیز دارند که این واریانس بالای تولید نشان از تغییرپذیری بالا و در نتیجه، حساسیت بسیار بالای این نواحی به پدیده خشک‌سالی است. بنابراین، با توجه به تطبیق نتایج میزان تولید گندم دیم با نقشه پهنه‌بندی حساسیت، دقیقت نقشه پهنه‌بندی حساسیت خشک‌سالی تأیید می‌شود.

از سوی دیگر، تحلیل‌هایی آماری اعم از رگرسیون خطی بین دو شاخص پوشش گیاهی و همچنین بارش در سطح استان صورت گرفته است و نتایج آماری نشان می‌دهد این دو شاخص، در سطح استان، رابطه خطی مهمی ندارند. رگرسیون خطی روی داده‌های تحقیق در

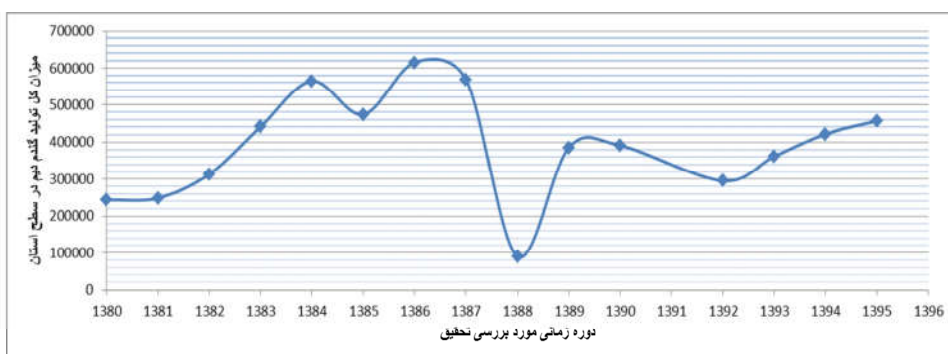


شکل ۱۳. نمودار میزان سرانه تولید گندم دیم در سطح استان کردستان



شکل ۱۴. نمودار میزان کل تولید گندم دیم در سطح استان کردستان

در شکل ۱۵، نمودار میزان کل تولید گندم دیم در سطح استان، در طول زمان مورد بررسی، آمده که مقدار تغییرپذیری بارش در سال‌های متفاوت و تأثیر آن در کشت دیم و در نتیجه، پدیده خشک‌سالی را نشان می‌دهد.



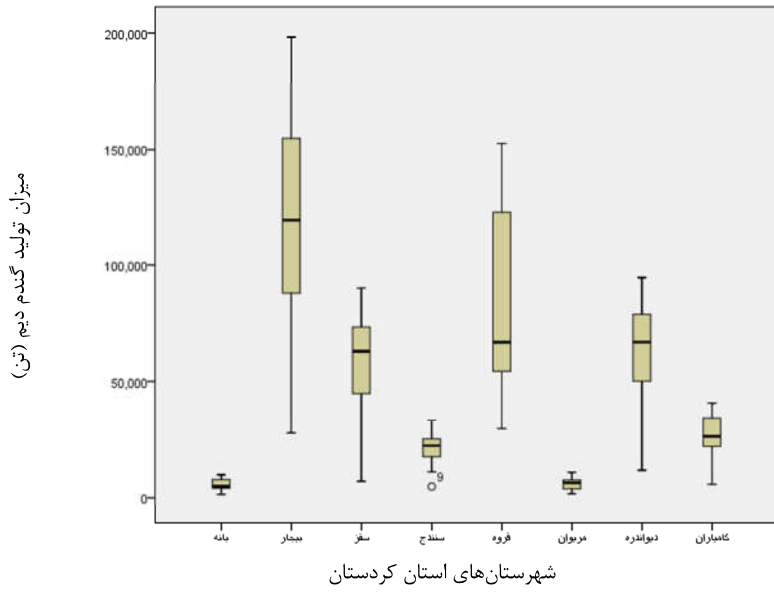
شکل ۱۵. میزان کل تولید گندم به تن در سطح استان

سنجش از دور و GIS ایران
سال سیزدهم شماره دوم تابستان ۱۴۰۰

ترکیب شاخص‌های EVI و SPI برای پهنه‌بندی مناطق حساس به خشکسالی ...

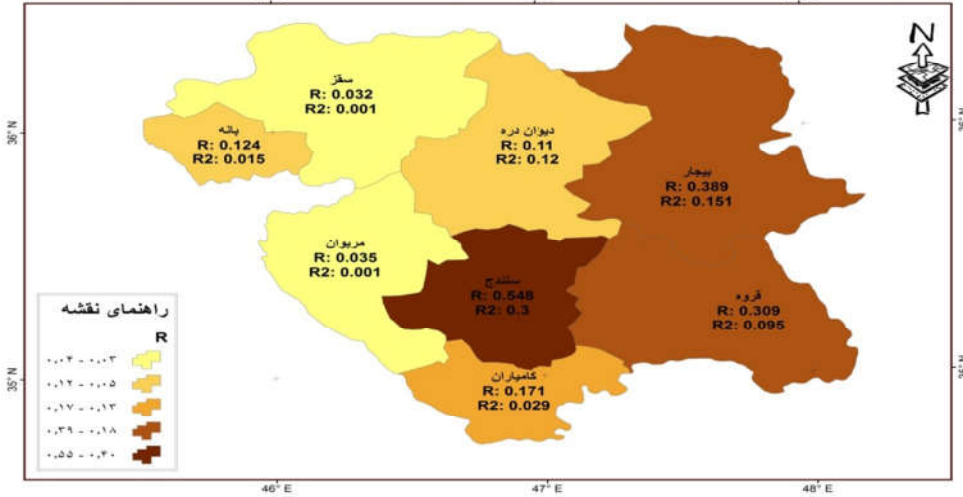
برخی دیگر از شهرستان‌ها، رابطه خطی مشخصی مشاهده نمی‌شود. در مجموع، برسی آماری در رگرسیون خطی بین دو شاخص مؤید نمودار نشان داده شده در شکل ۱۶ است.

سطح شهرستان‌های استان، بار دیگر و به صورت انفرادی انجام شد. نتایج تحلیل آماری (شکل ۱۷) نشان می‌دهد که دو شاخص مورد بررسی تحقیق، در برخی از شهرستان‌ها، ارتباط خطی موردن قبولی نشان داده‌اند (از جمله شهرستان‌های بیجار، قروه و سندنچ) و در



شکل ۱۶. نمودار میزان تولید گندم دیم در شهرستان‌های استان کردستان

شکل ۱۶. نمودار میزان تولید گندم دیم در شهرستان‌های استان کردستان



شکل ۱۷. نتایج آماری تحلیل رگرسیون خطی دو شاخص SPI و EVI در سطح شهرستان

۴- نتیجه‌گیری

شرقی به دفعات بیشتری مشاهده شد. این در حالی است که حساسیت پوشش گیاهی و نوسان تغییرات آن بر اثر تغییرات بارش برگرفته از شاخص پوشش گیاهی بازشده در سطح منطقه نیز راستای غرب به شرق داشته است و مناطق جنوب‌شرق حساسیت بسیار بالاتری به پدیده خشکسالی نشان داده‌اند. در مجموع، مناطق شرقی و به‌ویژه جنوب‌شرق استان بیشترین حساسیت آسیب‌پذیری را در برابر پدیده خشکسالی دارند. شایان توجه است که مساحت مناطق با ریسک‌پذیری بسیار بالای خشکسالی ۱۲۳۹ کیلومترمربع (حدود ۱۰٪ مساحت اراضی استان) برآورد شد و ۹۱٪ مساحت مناطق دارای حساسیت بسیار زیاد خشکسالی در کاربری کشت گندم دیم در این استان قرار دارد.

بررسی نتایج تحقیق نشان می‌دهد که در نظرگرفتن شاخص بارش استانداردشده به‌تهاهایی، به‌منزله معیار خشکسالی هواشناسی، در تعیین مناطق خشکسالی مؤثر است اما تلفیق نتایج این شاخص با شاخص پوشش گیاهی بازشده، به‌منزله معیار خشکسالی کشاورزی، می‌تواند نتایج دقیق‌تری به‌دست دهد. در برخی نواحی، کاهش یا واریانس بارش سالیانه نشان‌دهنده بروز خشکسالی است؛ در حالی که ممکن است این کاهش تأثیر چندانی در رشد پوشش گیاهی در آن ناحیه نداشته باشد. بنابراین، با در نظرگرفتن شاخص پوشش گیاهی بازشده و تلفیق آن با شاخص بارش استانداردشده، نواحی بروز خشکسالی با پوشش گیاهی حساس به این پدیده شناخته می‌شود. در مناطقی مانند نواحی کشت دیم که پوشش گیاهی وابستگی مستقیم به بارندگی داشته باشد، شاخص‌های SPI و EVI با هم ارتباط مستقیم داشته است. شاخص EVI تأثیرات زیمنی خشکسالی است و شاخص SPI آثار تغییرات بارندگی را نشان می‌دهد و در مناطقی که این دو شاخص به یکدیگر ارتباط دارند، وابستگی پوشش گیاهی به بارندگی نمود می‌یابد. نکته حائز اهمیت در این تحقیق در نظرگرفتن پارامتر زمان

خشکسالی شرایط اقلیمی بحرانی‌ای است که در بسیاری از مناطق ایران، طی سالیان گذشته، در محیط و سلامت زیست انسان‌ها تأثیر گذاشته است. در این زمینه، پهنه‌بندی مناطق دارای ریسک خشکسالی بالا ممکن است دولت و مدیران تصمیم‌گیرنده را در استفاده بهینه از منابع و تجهیزات موجود، به‌منظور کاهش تأثیرات مخرب این پدیده، کمک کند. شاخص بارش استانداردشده در بازه زمانی یک‌ساله به‌منزله شاخص تعیین‌کننده خشکسالی در منطقه مورد مطالعه، یکی از شاخص‌هایی است که در ادوار گذشته استفاده گسترده‌ای از آن شده است. این شاخص براساس رفتار بارشی ایستگاه در دوره زمانی مورد مطالعه به‌دست می‌آید. در این تحقیق، طی هفده سال بازه زمانی مورد بررسی، شاخص بارش استانداردشده محاسبه و به‌منظور پهنه‌بندی مناطق وقوع خشکسالی، در هفده سال، از این شاخص میانگین گیری شد و شدت خشکسالی در منطقه به‌دست آمد. واریانس بارش در پهنه‌های اراضی منطقه نیز یکی دیگر از پارامترهای تأثیرگذار در پدیده خشکسالی شمرده می‌شود؛ از این‌رو، لایه تغییرپذیری بارش ایجاد شد. شاخص پوشش گیاهی بازشده نیز به‌منزله شاخص پوشش گیاهی از تصاویر دریافتی سنجنده مادیس، در ۱۷ دوره زمانی، محاسبه شد. به‌منظور تعیین مناطق حساس به خشکسالی، مناطق دارای حساسیت خشکسالی بالا با استفاده از بیشترین تغییرات پوشش گیاهی در هفده سال و با بهره‌گیری از پارامترهای آماری در داده‌ها محاسبه و مناطق دارای درجه‌بندی حساسیت متفاوت در بارش‌های سالیانه شکل گرفت. پس از آن، پهنه‌بندی استان با استفاده از لایه‌های تولیدشده انجام شد.

نتایج تحقیق نشان می‌دهد که خشکسالی ناشی از تغییرات بارشی در سطح استان، استخراج‌شده از شاخص بارش استانداردشده، دارای راستای غرب به شرق است؛ به‌طوری‌که پدیده خشکسالی در مناطق

آبی حساس نیست (زمین بایر و لمبزعر و محدوده‌های شهری) و یا پوشش گیاهی غالب این نواحی از گونه‌خاصی است که متأثر از کمبود منابع آبی نخواهد بود. با بررسی نقشه‌ها و نتایج تحقیق، بهبود نتایج خشکسالی در سطح منطقه مورد مطالعه دیده می‌شود. همچنین ارائه نقشه‌های خشکسالی با توجه به ویژگی‌های پوشش گیاهی غالب منطقه و تأثیر تغییرات بارشی در روند رشد گیاهان منطقه خواهد بود که در صورت درنظرنگرفتن ویژگی‌های پوشش گیاهی منطقه، نتایج تحقیق مطلوب نظر نخواهد بود.

۵- منابع

اختری، ر، مهدیان، م.ح، مرید، س، ۱۳۸۵، تحلیل مکانی شاخص‌های خشک‌سالی بارش استاندارشده و EDI در استان تهران، مجله تحقیقات منابع آب ایران، دوره دوم، شماره ۳، ص. ۲۷-۳۷

برقی، ح، معمارامامیه، م، ۱۳۹۵، بررسی اثرات خشک‌سالی بر ساختار اقتصاد روستایی (مطالعه موردنی: دهستان گلاب شهرستان کاشان)، نشریه پژوهش و برنامه‌ریزی روستایی، دوره پنجم، شماره ۱۹، صص. ۱۴۷-۱۴۸.

جوادنیا، ا، مباشری، م.ر، ۱۳۸۶، بررسی روش‌های ارزیابی خشک‌سالی کشاورزی با استفاده از تکنیک‌های سنجش از دوری، دانشگاه صنعتی خواجه نصیرالدین طوسی، پایان‌نامه کارشناسی ارشد.

حجازی‌زاده، ز، پروین، ن، ۱۳۸۶، مدل‌سازی بارش و پیش‌بینی آن با استفاده از مدل‌های SARIMA و پایش خشک‌سالی به کمک شاخص BMI و نمایه PDRI در حوضه آبریز دریاچه ارومیه، مجله تحقیقات جغرافیایی، دوره بیست و دوم، شماره ۸۷، صص. ۱۲۴-۹۷.

است زیرا پوشش گیاهی، در زمان رشد و در فصل‌های گرم سال، نیاز بیشتری به منابع آبی دارد و در صورت تأمین نشدن آب لازم در دوره گرم سال، حیات گیاه ادامه نخواهد یافت. در عین حال، کمبود نزولات آسمانی (خشک‌سالی) و یا ترسالی در فصل‌های دیگر نقش چندانی در حیات گیاه ازبین رفته ندارد؛ بنابراین، در این تحقیق، شاخص پوشش گیاهی در خرداد و تیر بررسی شده است که بالاترین نرخ رشد گیاه و در عین حال، بیشترین افزایش دمایی دیده می‌شود. از سوی دیگر، در نواحی‌ای مانند اراضی زراعت آبی، ارتباط چندانی بین این دو شاخص دیده نمی‌شود.

نتایج آماری در رگرسیون خطی، بین دو شاخص مورد بررسی در تحقیق، تأیید‌کننده مطالب بالا است. در نتایج رگرسیون خطی برخی از شهرستان‌ها، از جمله بیجار و قروه، رابطه خوبی بین دو شاخص دیده می‌شود که در بررسی کاربری زمین، بیشتر اراضی این شهرستان‌ها کاربری کشاورزی دیدم است.

در عین حال، EVI شاخص معرف پوشش گیاهی در سطح منطقه مورد مطالعه به شمار می‌رود که زمان حساسیت محدود به فصل‌های گرم و نیز زمان رشد گیاه (خرداد و تیر) است. در نتیجه، این شاخص در فصل‌های گرم سال و در بازه زمانی شانزده روزه‌ای بررسی شده است تا نتایج صحیحی حاصل شود. بنابراین، هدف اصلی تحقیق به کارگیری و ترکیب دو شاخص و استفاده از نتایج آن‌ها برای پهنه‌بندی مناطق حساس به خشک‌سالی است تا نتایج دقیق‌تری به دست آید. لازم است بیان شود که در بررسی نتایج تحقیق، این دو شاخص در برخی از نواحی ارتباط مستقیم داشته‌اند؛ یعنی هر دو شاخص خشک‌سالی را در منطقه تأیید می‌کنند. این نکته نشان از تأثیر مستقیم کاهش بارش سالیانه در رشد و ایجاد پوشش گیاهی منطقه دارد. از سوی دیگر، در برخی مناطق دیگر، نشانی از ارتباط بین این دو شاخص دیده نمی‌شود؛ بدین معنی که خشک‌سالی هواشناسی وجود دارد ولی یا کاربری خاص در آن مناطق به چشم می‌خورد که به تغییرات

- خویسی، م.، ۱۳۹۱، بهبود شاخص عمودی خشک سالی اصلاح شده به منظور برآورد میزان خشک سالی در مناطق خشک مرکزی ایران، فصلنامه علمی-پژوهشی سنجش از دور و GIS ایران، سال چهارم، شماره ۲، صص. ۴۵-۶۲.
- سعادتی، س.، سلطانی کوپاهی، س.، اسلامیان، س.، ۱۳۹۵، تحلیل فراوانی خشک سالی هواشناسی با استفاده از شاخص بارش استاندارد در حوزه زاینده رود، اولین همایش منطقه‌ای بهره‌برداری از منابع آب حوضه‌های کارون و زاینده‌رود (فرصت‌ها و چالش‌ها).
- طالبی، م.ص.، موسوی بفرویی، م.، ۱۳۸۹، ارزیابی، پهنه‌بندی و پایش خشک سالی با استفاده از شاخص‌های معتبر، مطالعه موردي: استان کرمان، اولین کنفرانس بین‌المللی مدل سازی گیاه، آب، خاک و هوا، مرکز بین‌المللی علوم و تکنولوژی پیشرفت‌ه و علوم محیطی دانشگاه شهید باهنر کرمان.
- طحان، ز.، معیا، س.، ۱۳۹۱، بررسی شاخص‌های خشک سالی در استان کردستان و مقایسه با عملکرد گندم دیم، مجله علمی و فنی نیوار، شماره ۷۶-۷۷، صص. ۱۵-۲۸.
- عثمانی، م.، ثانی خانی، ۵، ۱۳۹۵، ارزیابی خشک سالی در استان کردستان با استفاده از نمایه‌های بارش استاندارد، دهک و بارش نرمال، اولین کنفرانس بین‌المللی آب، محیط‌زیست و توسعه پایدار.
- غفاری، ع.، قاسمی، و.ر.، دیائو، ۱، ۱۳۹۴، پهنه‌بندی اقلیم کشاورزی ایران با استفاده از روش یونسکو، نشریه زراعت دیم ایران، دوره چهارم، شماره ۱، صص. ۶۳-۹۵.
- مصطفی‌زاده، م.، حجام، س.، صداقت کردار، ع.، ۱۳۹۴، توانمندی نظریه آشوب در پیش‌بینی شاخص حسن‌زاده، ی.، لطف‌اللهی، ی.، شاهوردی، م.ع.، فرزین، س.، فرزین، ن.، ۱۳۹۱، نویزدایی و پیش‌بینی سری زمانی برایه الگوریتم موجک و نظریه آشوب (مطالعه موردي: شاخص پایش خشک سالی بارش استاندارد شده شهر تبریز)، نشریه تحقیقات منابع آب ایران، دوره هشتم، شماره ۳، صص. ۱-۱۳.
- حیدری، ح.، ولدان زوج، م.ج.، مقصودی، ی.، بهشتی‌فر، م.ر.، ۱۳۹۵، ارزیابی کارآیی شاخص‌های طیفی پوشش گیاهی پهنه باند در پیش‌بینی شرایط خشک سالی در ایران، فصلنامه علمی-پژوهشی سنجش از دور و GIS ایران، سال هشتم، شماره ۲، صص. ۱۱۰-۱۱۲.
- خاتمی، س.، مدنی، ک.، ۱۳۹۳، خشک سالی چیست؟، روزنامه اعتماد، شماره ۲۱۹۳.
- rstمنیا، م.، آخوندزاده هنزاگی، م.، ۱۳۹۵، بررسی خشکیدگی مخاطره آمیز درختان جنگلی استان ایلام با استفاده از تصاویر ماهواره لندست، نشریه علمی - پژوهشی علوم و فنون نقشه‌برداری، دوره ششم، شماره ۲، صص. ۱۴۴-۱۳۱.
- رضیئی، ط.، دانش کار آراسته، پ.، اختری، ر.، ثقیفیان، ب.، ۱۳۸۶، بررسی خشک سالی‌های هواشناسی (اقليمی) در استان سیستان و بلوچستان با استفاده از نمایه بارش استاندارد شده و مدل زنجیره مارکوف، مجله تحقیقات منابع آب ایران، سال سوم، شماره ۱، صص. ۵-۲۵.
- زارع ابیانه، ح.، ۱۳۹۴، تحلیل و پایش خشک سالی هواشناسی منطقه سیستان و بلوچستان، فصلنامه علوم و تکنولوژی محیط‌زیست، دوره هفدهم، شماره ۱، صص. ۴۹-۶۱.
- درویش‌زاده، ر.، متکان، ع.ا.، حسینی اصل، ا.، ابراهیمی

- Hayes, M. & Center, U., 2002, **Drought Indices**, National Drought Mitigation Center, University of Nebraska.
- Hayes, M.J., Svoboda, D., Wilhite, D.A. & Vanyarkho, O.V, 1999, **Monitoring the 1996 Drought Using the Standardized Precipitation Index**, Bulletin of the American Meteorological Society, 80(3), PP. 429-438.
- Jensen, J.R., 2010, **Introductory Digital Image Processing – A Remote Sensing Perspective** (Third Edition), Prentice Hall.
- McKee, T.B. & Doesken, N.J., 1993, **The Relationship of Drought Frequency and Duration to Time Scales**, Eight Conference on Applied Climatology. Anaheim, CA, American Meteorological Society, 179-18u PP.
- Pashaienejad, M., Rashki, A.R., 2015, **The use of Vegetation Indices to Assessment Vulnerability of Khorasan Razavi Province to Desertification**, First International Conference on Environment and Natural Resources (IENC2015), Mashhad, Ferdowsi University.

خشک سالی بارش استاندارد شده، مطالعه

موردي: رشت، سومين همايش ملي مهندسي و مدیريت کشاورزی، محيط زيت و منابع طبيعي پايدار.

مفاخرى، ا، خالدى، ش، شمسى پور، ع.ا، فلاحي خوشجى، م، كرمانى، آ، ۱۳۹۵، **تحليل خشکسالی با استفاده از شاخص NDVI در دشت قروه و دهگلان**، نشرية خشکسالی کاربردی علوم جغرافيايي، دوره شانزدهم، شماره ۴۱، صص. ۷۷-۹۴.

مهرى، س، عليزاده، و، ۱۳۹۴، **ارزیابی تغییرات مکانی شدت دوره‌های خشکسالی هواشناسی در مقیاس‌های زمانی متفاوت در استان کردستان**، فصلنامه علمی- پژوهشی اطلاعات جغرافيايي، دوره بیست و ششم، شماره ۱۰۲، ۱۵۱-۱۶۲.

وردى پورآزاد آ، آذرخشى، م، مساعدى، ا، فرزادمهر، ج، ۱۳۹۳، **بررسی ارتباط خشک سالی های هواشناسی و هیدرولوژیکی دشت مشهد**، کنفرانس ملي علوم و مهندسي محیط‌زیست.

Chopra, P., 2006, **Drought Risk Assessment Using Remote Sensing and GIS: A Case Study of Gujarat**, M.sc Thesis, ITC University.

Dupigny-Giroux, L.A., 1999, **Drought Follows the Deluge in Vermont**, Drought Network News (1994- 2001), 41.

Dupigny-Giroux, L.A., 2001, **Towards Characterizing and Planning for Drought in Vermont-Part I: A Climatological Perspective**, Jawra Journal of the American Water Resources Association, 37(3), PP. 505-525.

Guttman, N.B, 1998, **Comparing the Palmer Drought Index and the Standardized Precipitation Index**, Journal of the American Water Resources Association, 34(1), PP. 113-121.



سنجش از دور

،
GIS ایران

سال سیزدهم، شماره دوم، تابستان ۱۴۰۰
Vol.13, No. 2, Summer 2021

سنجش از دور و GIS ایران
Iranian Remote Sensing & GIS

1-22



Combination of EVI and SPI Indices for Mapping of Drought-Prone Areas (Case Study: Kurdistan Province)

Ahmadi V.¹ and Alimohamadi A.^{*2}

1. M.Sc., GIS & Remote Sensing, Civil Engineering Dep.,
Payame Noor University, Shemiranat

2. Prof. of GIS, K.N. Tousi University

Abstract

Drought evaluation is important in terms of spatial and temporal for planning to reduce damages in the Kordestan province. In this research, Standardized Precipitation Index and the Enhanced Vegetation Index have been used from the extracted satellite images for determinants of drought. so, the statistical data of Meteorological stations including maximum monthly temperatures, total annual precipitation and the images of MODIS sensor have been employed. By comparing meteorological parameters such as average annual temperature, rainfall and the comparison of maps of the Standard Precipitation Index and Enhance Vegetation Index, the condition of drought has been investigated in the region in a 17-year period. The results of the two SPI and EVI indices indicate that the drought is due to rain changes have in the west-to-east direction. This phenomenon is more severe in the eastern regions whereas vegetation sensitivity and the fluctuation of its variations have been affected by precipitation changes in the north-to-south direction over the region. In this way, the southern regions have shown higher sensitivity. Southern regions are generally more vulnerable to droughts, especially in the south-east of the province. Regions with high drought sensitivity make up about 10 percent of the area regarding the regions in the province, whereas 91 percent of the area of regions with very high drought sensitivity is places where the landuse involves growing wheat with rain water.

Keywords: Drought, Kurdistan province, Standardized Precipitation Index, Enhanced Vegetation Index, MODIS sensor.

* Correspondence Address: No. 1346, ValiAsr Street, Mirdamad Cross, Faculty of Geomatics Engineering, K.N. Toosi University of Technology, Tehran. Post Code: 15433-19967, Tel: +091211482174
Email: mteimouri@mail.kntu.ac.ir